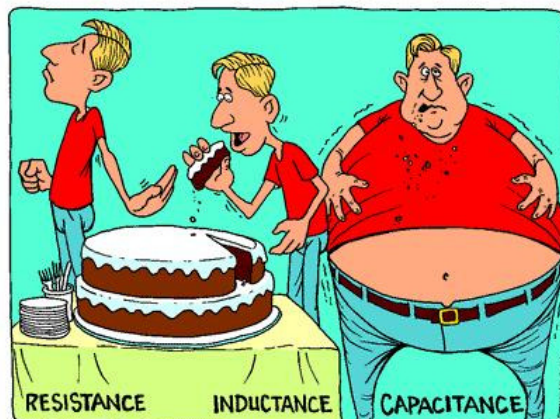


## Măsurarea impedanțelor



1

## Reprezentări

- forma carteziană:  $Z = R + jX$

- forma polară:  $Z = |Z|e^{j\varphi_z}$

unde:

$$|Z| = \sqrt{R^2 + X^2}$$

$$\varphi_z = \arctg \frac{X}{R}$$

- caracteristici ale impedanțelor:

- **natura**, dată de semnul componentei imaginare:

$X > 0$  natură **inductivă**,  $X < 0$  natură **capacitivă**,  $X = 0$  natură **rezistivă**

- **modelul**: serie sau paralel

2

## Modele

- Modelul **serie**: se preferă reprezentarea Z:

$$Z = R + jX \quad \begin{array}{c} R_s \quad jX_s \\ \text{---} \text{---} \end{array}$$

- Modelul **paralel**: se preferă reprezentarea Y:

$$Y = \frac{1}{Z} = G + jB = |Y|e^{j\phi_Y} \quad \begin{array}{c} R_p \\ \text{---} \\ jX_p \\ \text{---} \end{array}$$

3

## Conversii între modele

- Ambele modele (serie sau paralel) “modelează” corect impedanța

→ valoarea Z este aceeași:

$$\frac{1}{R_p} + \frac{1}{jX_p} = \frac{1}{R_s + jX_s} \quad \frac{1}{R_p} - j\frac{1}{X_p} = \frac{R_s - jX_s}{R_s^2 + X_s^2}$$

- relații de echivalență:

$$R_p = \frac{R_s^2 + X_s^2}{R_s} \quad X_p = \frac{R_s^2 + X_s^2}{X_s}$$

- **Concluzie**: cunoscînd elementele unui model (s/p) se pot determina elementele celuilalt model (p/s)

4

## Factorul de calitate

- Pe baza puterilor activă/reactivă disipate în impedanță:

$$Q = \frac{|P_r|}{P_a}$$

- Q mare: efect predominant reactiv (inductiv/capacitiv)
- Q mic: efect predominant rezistiv (pierderi mari)
- Reciproc: factorul de pierderi:

$$D = \frac{1}{Q}$$

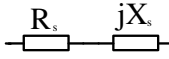
- sau: unghiul de pierderi:

$$\delta = \arctg \frac{1}{Q} = \arctg D$$

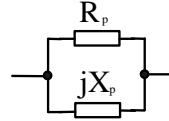
5

## Factorul de calitate (cont'd)

- Modelul serie: I prin  $R_s$  și  $X_s$  este același:

$$\left. \begin{aligned} |P_r| &= \frac{1}{2} |X_s| I^2 \\ P_a &= \frac{1}{2} R_s I^2 \end{aligned} \right\} Q_s = \frac{|X_s|}{R_s}$$


- Modelul paralel: U la bornele  $R_p$  și  $X_p$  este aceeași:

$$\left. \begin{aligned} |P_r| &= \frac{1}{2} \frac{U^2}{|X_p|} \\ P_a &= \frac{1}{2} \frac{U^2}{R_p} \end{aligned} \right\} Q_p = \frac{R_p}{|X_p|}$$


6

## Factorul de calitate (cont'd)

- Relația  $Q_s \leftrightarrow Q_p$  ?
- Rescriem relațiile de echivalență:

$$R_p = \frac{R_s^2 + X_s^2}{R_s} \quad X_p = \frac{R_s^2 + X_s^2}{X_s}$$

- Obs:  $R_p/X_p = X_s/R_s$   
 $\rightarrow Q_p = Q_s$
- **Q: rezultat așteptat ?**
- **Hint: este vorba de 2 modele *matematice (echivalente)* diferite ale **aceleiași** componente, al cărui model *fizic* poate fi necunoscut !**
- Q este o mărime cu semnificație fizică (vezi. def)
- $Q_s = Q_p = Q$

7

## Conversii între modele (revisited)

- relațiile de echivalență:

$$R_p = \frac{R_s^2 + X_s^2}{R_s} \quad X_p = \frac{R_s^2 + X_s^2}{X_s}$$

- pe baza def. Q:

$$\begin{cases} R_p = R_s (1 + Q^2) \\ X_p = X_s \left(1 + \frac{1}{Q^2}\right) \end{cases}$$

8

## Conversii – cazuri particulare

- pt. **Q mare** (suficient  $Q > 10 \rightarrow 1/Q^2 \approx 0$ )

$$\begin{cases} R_p \cong R_s Q^2 \\ X_p \cong X_s \end{cases}$$

→ se conservă **reactanța** între modele ( $C_p$  sau  $L_p$ )

- pt **Q mic**:

$$\begin{cases} R_p \cong R_s \\ X_p \cong \frac{X_s}{Q^2} \end{cases}$$

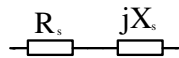
→ se conservă **rezistența** între modele

9

## Modele (revisited)

- Modelul s/p poate fi **fizic** sau **echivalent**
- Modelul **fizic**: valorile  $R$ ,  $X$  corespund unor mărimi fizice reale

Ex: bobină reală = bobină ideală + rezistența sîrmei



$X_s$  corespunde  $\omega L$ ,  $R_s$  corespunde rez. sîrmei

$$Z = R_s + j\omega L$$

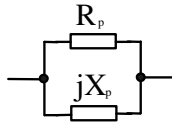
- Avantaj folosire model fizic:  
valorile numerice corespund valorilor așteptate  
Ex:  $R_s$  = rezistența sîrmei = rezistență **mică**

10

## Modele (cont'd)

- Modelul **echivalent**: nu corespunde unor mărimi fizice reale

Ex. Bobină reală modelată prin:



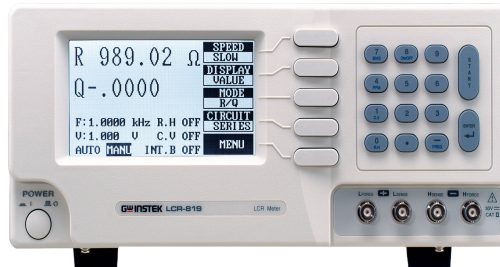
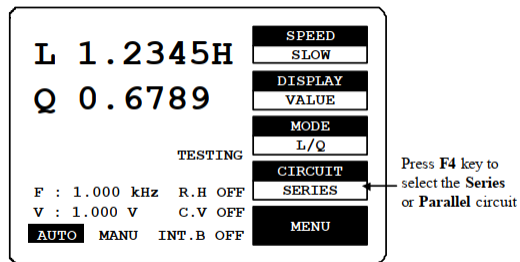
$$1/Z = 1/R_p -j/\omega L$$

- Q: De ce se folosește ?
- A:
  - structura fizică nu e întotdeauna cunoscută (“cutie neagră”)
  - modelul echivalent “modelează” la fel de bine componenta fizică
- Dezavantaj: valorile numerice nu corespund valorilor fizice așteptate (dacă acestea se cunosc)

11

## Modele (cont'd)

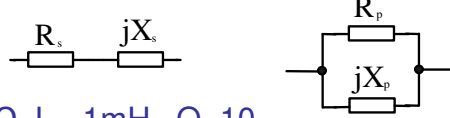
- Puntea automată de măsură din laborator, numită și LCR-metru, permite măsurarea componentelor după oricare model
- din meniul CIRCUIT se poate selecta modelul SERIE sau PARALEL
- oricare model va da un rezultat corect
- tipul componentei se alege din meniul MODE. Poate fi L/Q, C/D sau R/Q. Deci nu se poate afișa direct C și Q, dar se poate afișa D și se va calcula manual  $Q=1/D$
- atenție că dacă alegeți L când măsurați un C sau invers, veți primi valori negative !



12

## Modele (cont'd)

- Ex: folosirea modelului echivalent (paralel) la bobină:



Ex:  $R_s=1\Omega$   $L_s=1\text{mH}$   $Q=10$

calc.  $R_p = R_s(1 + Q^2)$  :  $R_p=1+100 = 101 \Omega$

- $R_s$  (fizic) mic ( $1\Omega$ ) – rezistența sîrmei
- $Q$  mare  $\rightarrow R_p$  (echivalent) mare  $\rightarrow$  nu corespunde cu realitatea (nu există o rez. fizică de  $101 \Omega$ )
- realitatea = măsurarea rezistenței bobinei la ohmetru

### Observații:

- modelul e în continuare corect matematic
- unele impedanțe (combinații multiple serie-paralel) nu corespund unui anumit model fizic simplu s sau p  $\rightarrow$  oricare model e la fel de bun

13

## Impedanțe parazite

- apar pe lîngă impedanța “reală” necunoscută
- nu sînt constante – depind de forma, poziția și modul de conectare al impedanței în circuit
- ex: apropierea mîinii operatorului, strîngerea unor borne cu șurub etc.

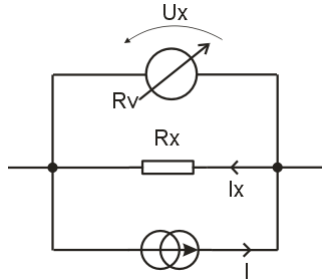
### Clasificare:

- impedanțe parazite mici:
  - model: serie cu impedanța necunoscută
  - uzual: rezistențe de contact, rezistențele terminalelor, rezistențele cablurilor de măsura
- impedanțe parazite mari:
  - model: paralel
  - uzual: rezistențe de izolație, de scurgere, de pierderi, capacități parazite

14

## Măsurarea impedanțelor mici

- $Z_x / R_x$  mici:
- impedanțele parazite mici (serie) nu sînt neglijabile
- putem neglija impedanțele parazite mari (paralel)
- Aplicație: măsurarea indirectă a R prin injectare de curent



- $I_x = I$  căci  $R_v \rightarrow \infty$
- $R_x = U_x / I_x$

15

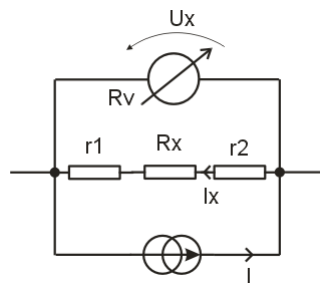
## Măsurarea impedanțelor mici (cont'd)

- $R_x$  mică
- $r_1, r_2$  rezistențele terminalelor + contactelor

### CONEXIUNE BIPLOARĂ (2T)

- doar două borne de conectare la  $R_x \rightarrow$  nu se pot separa  
 $\rightarrow U_x = I_x(r_1 + R_x + r_2) \rightarrow R_{x,m\acute{a}s} = r_1 + R_x + r_2$

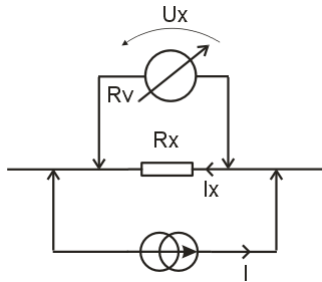
Q: Să se calculeze eroarea sistematică comisă la această măsurătoare



16



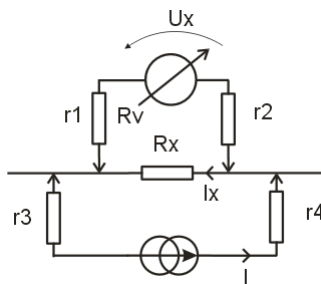
## Conexiunea cuadripolară (4T)



- Idee: separarea bornelor de curent (2) și tensiune (2)
- 2+2 =4 fire **separate** către  $R_x$
- **Regulă:** punem în evidență rezistența de contact/rezistența terminalului în serie cu **fiecare** bornă care ne conectează la  $R_x$  (include toate impedanțele parazite serie din acel punct)
- Contacte ascuțite: contacte “cuțit” (Kelvin)
- **Redesenați schema cu cele 4 rezistențe !**

17

## Conexiunea cuadripolară (4T) (cont'd)



- Idee: punerea  $r_i$  în serie cu alte impedanțe mari a.î. să devină neglijabile
- $r_{1,2} \ll R_v$   $r_{1,2}$  serie  $R_v$
- $r_{3,4} \ll R_{\text{sursă curent}}$   $r_{3,4}$  serie  $R_{\text{sursă curent}}$
- căderea de tensiune pe  $r_{3,4}$  există dar nu intervine

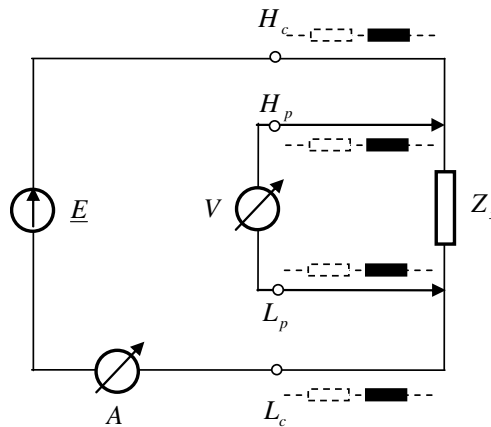
$$\rightarrow U_x = R_x I_x$$

eroare sistematică: 0

18

## Aplicație: punte de măsură 4T

- vezi puntea din laborator
- în c.a. → LCR-metru (măs.  $Z_x$ )
- 4 borne:
  - Hc = High Current
  - Hp = High Potential (Voltage)
  - Lp = Low Potential (Voltage)
  - Lc = Low Current
- Hc, Lc injectează curent în  $Z_x$
- Hp, Lp măsoară tensiunea pe  $Z_x$
- Schema: va fi în curs IEM an 3
- în c.c. elimină ef.  $r_{\text{serie}}$  fire măsură, contacte
- în c.a. elimină și ef. **inductanței** firelor de măsură



19

## Impedanțe parazite

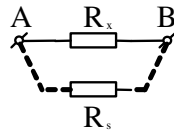
### Cîteva observații cu aspect practic, ingineresc

- am spus că pt o componentă nu contează dpdv al corectitudinii matematice dacă alegem modelul s sau p
- **dar** contează dpdv al corespondenței fizice → dc. alegem modelul greșit obținem, ca în exemplul anterior, rezistență mare în cazul sîrmei ceea ce nu are sens fizic.
- De aceea, în cazul modelării impedanțelor parazite este **important** să se aleagă modelul corect, pt că tb. să aibă semnificație fizică !
- dacă alegeți incorect, o sa obțineți, de exemplu, rezistența de contact de KiloOhmi în loc de  $\ll 1$  ohm ceea ce nu are nici un sens și ar fi greșit!
- eliminarea **efectului** acestor impedanțe parazite se face, foarte important, ținînd seama de dimensiunea lor (mari sau mici) !

20

## Măsurarea impedanțelor mari

- $Z_x / R_x$  mari:
- impedanțele parazite mari (paralel) nu se pot neglija
- se pot neglija impedanțele parazite mici (serie)
- $R_S \parallel R_x$  între bornele A,B
- $R_S = \text{zeci...sute } M\Omega \dots G \Omega$

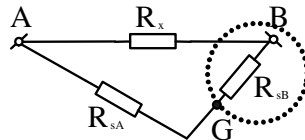


- Q: să se calculeze eroarea sistematică la măsurarea  $R_x$

21

## Măsurarea impedanțelor mari (cont'd)

- Soluție: **inel de gardă** în jurul unei borne
- Efect:  $R_s$  divizat în  $R_{sA} + R_{sB}$
- pînă aici nimic nou;  $R_{sA} + R_{sB}$  în continuare  $\parallel R_x$



- 3 borne (A,B,G) → configurație **tripolară** (3T)

22

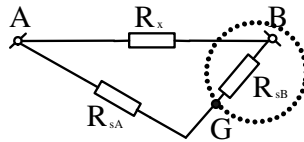
## Conexiunea tripolară (3T)

- *memento*: idee 4T:

“punerea  $r_{\text{contact}}$  **în serie** cu alte impedanțe **mari** a.î. să devină neglijabile”

- idee 3T:

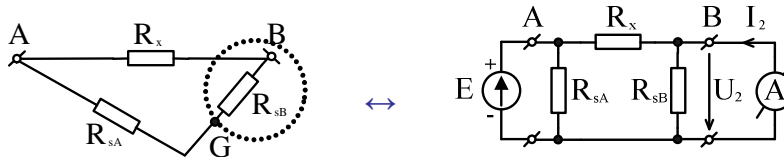
punerea  $R_{sA,B}$  **în paralel** cu alte impedanțe **mici** a.î. să devină neglijabile



23

## Conexiunea tripolară (3T) (cont'd)

- Aplicație: măsurarea  $R_x$  (mari)
- Borna G se leagă la **masă**



- $R_x \ll R_{sA,B} \rightarrow I_{A,B} \ll I_x \rightarrow I_2 \approx I_x$
- $U_2 \approx 0$  ( $R_{\text{ampermetru}} \approx 0$ )  $\rightarrow E = U_x + U_2 \approx U_x$
- $R_x = -U_1/I_2 = -E/I_2$

•  $R_{sA} \parallel R_{\text{sursă tensiune}}$  dar  $R_{sA} \gg R_{\text{sursă tensiune}}$

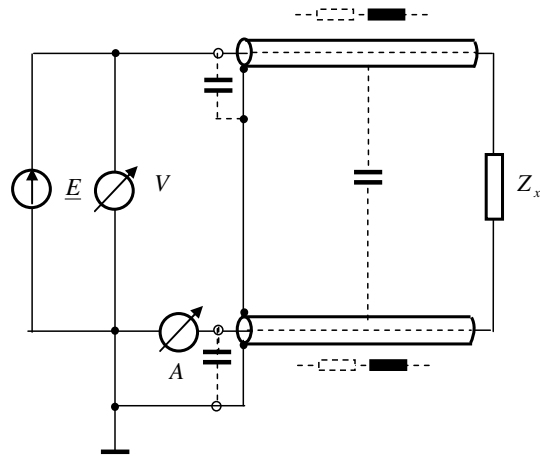
•  $R_{sB} \parallel R_{\text{ampermetru}}$  dar  $R_{sB} \gg R_{\text{ampermetru}}$

$\rightarrow$  efect  $R_{sA,B}$  neglijabil prin punerea în  $\parallel$  pe impedanțe **mici**

24

## Aplicație: punte de măsură 3T

- Q: se văd 2 borne, unde e a 3-a ?
- A: ecranul cablului coaxial !
- $R_S$  în c.a. :  $Z_s =$  capacitatea parazită  $C_p$  (de val. mică  $\rightarrow$  impedanță mare)
- obs.  $C_p \parallel$  2 puncte de potențial egal (2 borne de masă)  $\rightarrow$  efect eliminat
- fără ecran  $\rightarrow C_p \parallel Z_x \rightarrow$  nu mai e neglijabil la  $Z_x$  mari
- Extindere:  $4+3 = 5$  ???
- $4T+3T = 5T$  (pentapolar)
- 4 cabluri ecranate, ecrane comune = 5 borne !



25

## Măsurarea impedanțelor prin metoda punții echilibrate (*balanced bridge*)

Rezumat:

- A. în c.c.  $\rightarrow$  puntea Wheatstone
- B. în c.a. :
  - $\rightarrow$  8 tipuri de punți bazate pe puntea Wheatstone
  - $\rightarrow$  punți cu transformator
- C. punți active

26

## De ce punți ?

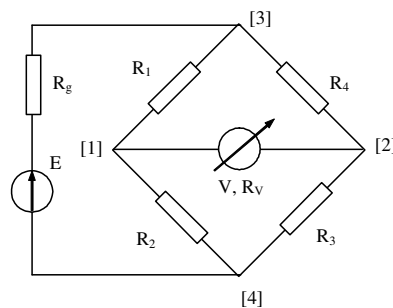
- puntea – cea mai sensibilă metodă de măsură
- egalitatea  $R_x=R_e$  (sau  $Z_x=Z_e$ ) se determină la echilibrul punții
- rezoluția = abilitatea de a detecta tensiuni de dezechilibru oricît de mici
- aplicații:
  - punți de măsură pentru R,L,C cu echilibrare manuală și automată
  - senzori și traductoare

27

## A. Puntea Wheatstone de c.c.

$$R_g \rightarrow 0$$

$$R_v \rightarrow \infty$$



- Principiul punții **echilibrate**:  $U_{12} = U_d = 0$  (**d=dezechilibru**)
- Voltmetrul: indicator de nul;
- *remember galvanometrul magnetoelectric cu 0 la mijloc?*
- Relația de echilibru:  $U_1=U_2$

$$\rightarrow R_1 R_3 = R_2 R_4$$

- **Demonstrație !**

28

## Puntea Wheatstone (cont'd)

$$\frac{R_1}{R_2} = \frac{R_4}{R_3}$$

- notăm  $R_4=R_{4x}=R_x$
- putem nota și:

$$R_3 = R_e$$

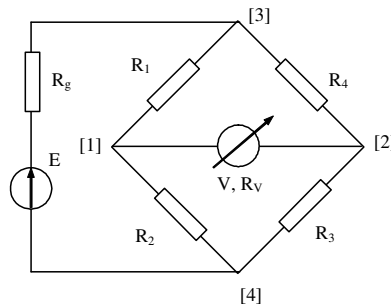
$$\frac{R_1}{R_2} = 10^{\pm n}$$

$$\rightarrow R_x = 10^{\pm n} R_e$$

- $10^{+/-n}$  reglaj **decadic** → schimbă **scara** de măsură
- $R_e$  reglaj **continuu** → **valoarea** în cadrul scării

29

## Puntea Wheatstone (cont'd)



- **Q:** putem schimba poziția voltmetrului cu a sursei ?
- **A:** da și nu !!!
- **da:** d.p.d.v. al relației de echilibru  $R_1 R_3 = R_2 R_4$
- **nu:** d.p.d.v. al sensibilității
- **memento:** sensibilitatea  $S = ?$

30

## Sensibilitatea punții Wheatstone

- Sensibilitatea  $S = \Delta i_{\text{ieșire}} / \Delta i_{\text{intrare}}$

- la noi:  $S = \frac{\Delta U_d / E}{\Delta R_4 / R_4}$

- se obține  $S = \frac{A}{(1+A)^2}$

(cu notația  $R_3/R_4=A$ )

**Demonstrație!**

31

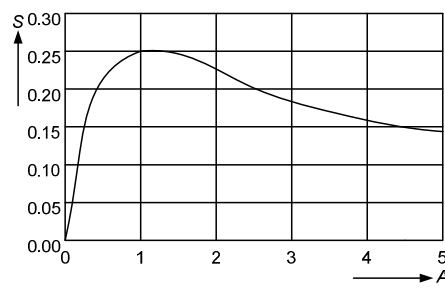
## Sensibilitatea punții Wheatstone (cont'd)

$$S = \frac{A}{(1+A)^2}$$

- dorim  $S=\max$ ;  $S=f(A)$   
 $\rightarrow dS/dA = 0$

- se obține pentru  $A = 1$   $S_{\max} = \frac{1}{4}$

**Demonstrație !**



32



## Sensibilitatea punții Wheatstone (cont'd)

Consecințe:

- 1)  $A \leftrightarrow 1/A$ ; puntea nu cunoaște sensul “gravitației”
  - **demonstrăm că  $S(A)=S(1/A)$**
  - $A$  = raportul *oricăror* 2 rezistențe care mărginesc V-metrul!
  - $A = R_1/R_2=R_4/R_3$  sau  $A = R_2/R_1= R_3/R_4$  dar nu  $R_2/R_3$  !
  
- 2)  $A=1$  → scara decadică cea mai sensibilă este pt.  $n=+/-1$ 
  - la măsurarea  $R_x$  f. mici/mari  $S$  scade
  - **motiv** suplimentar pentru care p. Wheatstone nu e indicată pentru  $R_x$  de valori extreme
  - Q: ce alte motive ?**
  - A: conexiune 2T și nu 3T/4T/5T !!!**

33

## Sensibilitatea punții Wheatstone (cont'd)

- Sensibilitatea  $S_0$  în jurul echilibrului (la ech.:  $R_1R_3=R_2R_4$ )

$$R_4 = \underbrace{R_{40}} + \Delta R_4 \quad \Delta R_4 \ll R_{40}$$

$$U_d = 0 + \Delta U_d = \Delta U_d$$

- $S_0$  devine: 
$$S_0 = \frac{\frac{U_d}{E}}{\frac{\Delta R_4}{R_{40}}} = \frac{A}{(1+A)^2}$$

$$\rightarrow U_d = ES_0 \frac{\Delta R_4}{R_{40}}$$

notăm  $\sigma = \Delta R/R_{40}$  (s.n. dezechilibrul punții)

34

## Sensibilitatea punții Wheatstone (cont'd)

- $\sigma = \Delta R/R_{40}$
- $U_d = S \cdot \sigma \cdot E$
- observăm  $\sigma = \Delta R/R_{40}$  similar cu  $\varepsilon = \Delta R/R_{\text{adevărat}}$
- $\sigma \leftrightarrow$  eroare  $\leftrightarrow$  eroare de prag de sensibilitate =  $\varepsilon_{PS}$
- Q: ce factor cauzează  $\varepsilon_{PS}$  ?
- A:  $U_d < U_{\min}$  (citibil pe afișajul/scara voltmetrului)

$$\text{înlocuim} \rightarrow \varepsilon_{ps} = \frac{U_{\min}}{S_0 E}$$

35

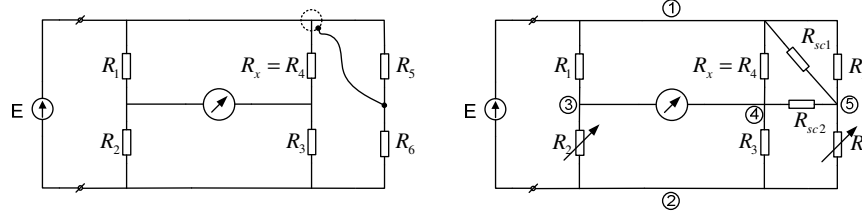
## Puntea Wheatstone (cont'd)

- **Aplicație 1:**  
calculați  $\varepsilon_{PS}$  a unei punți știind că se folosește un voltmetru numeric cu  $U_{CS}=2V$  (afișaj maxim 1.999V, numit și afișaj cu **3 ½ cifre**)  
Se mai dau:  $E=10V$ ,  $R_1=R_2=1K$
- **Aplicație 2:**  
Calculați eroarea relativă limită la măsurarea cu puntea precedentă, dacă toleranțele rezistențelor sînt  $\varepsilon_{1,2}=1\%$  și  $\varepsilon_3=0.1\%$   
(Hint: aplicație a conceptelor de eroare limită și a formulei de propagare a erorii la măsurătorile indirecte)

36

## Puntea Wheatstone (cont'd)

- **Aplicație 3:** puntea Wagner

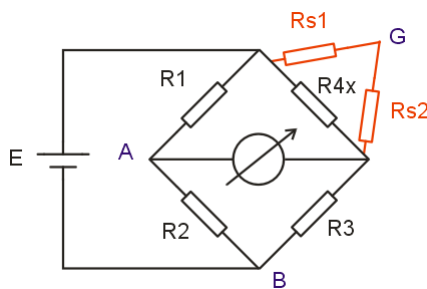


- punte în conexiune 3T
- 2 faze:
  - faza 1: v-metrul între 4-5, echilibrare din  $R_6$   
**Q1: la ce este utilă această fază?**
  - faza 2: v-metrul între 3-4, echilibrare din  $R_2$  sau  $R_3$  (punte clasică)
- Q2: Să se determine condițiile de echilibru și modul de funcționare
- Q3: redeseñați schema pentru a funcționa în c.a.

37

## Puntea Wheatstone (cont'd)

- **Aplicație 4:** puntea Wheatstone în configurație 3T

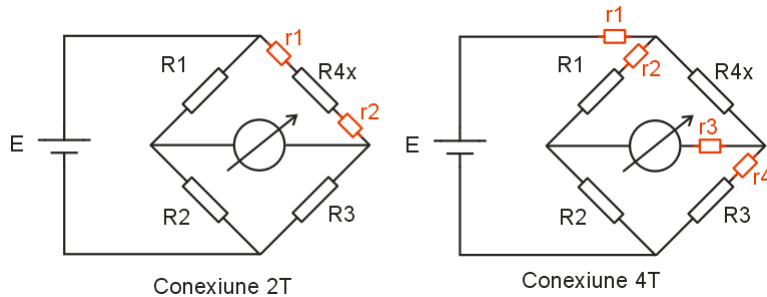


- să se calculeze eroarea sistematică dacă borna G rămîne în aer
  - să se determine modul optim de conectare al bornei G
- Se dau  $R_1=100\text{K}$   $R_2=10\text{K}$   $R_3=1\text{M}\Omega$   $R_{s1}, R_{s2}=100\text{M}\Omega$

38

## Puntea Wheatstone (cont'd)

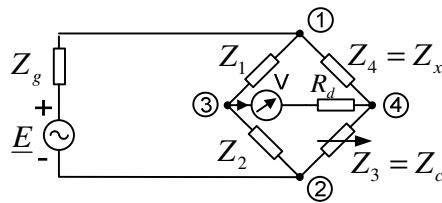
- **Aplicație 5:** puntea Wheatstone în configurație 4T



- să se argumenteze poziția și efectul rezistențelor de contact
  - să se calculeze eroarea sistematică în conexiune 2T
  - să se calculeze eroarea sistematică în conexiune 4T
- Se dau:  $R_1=100 \Omega$   $R_2=1K$   $R_3=10\Omega$   $r_1..r_4= 0.1 \Omega$

39

## B. Punți de c.a.



- $Z_1..Z_4$  complexe
- relația de echilibru:  $Z_1 Z_3 = Z_2 Z_4$
- se traduce în 2 relații de echilibru:

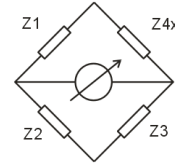
$$\begin{cases} |Z_1| |Z_3| = |Z_2| |Z_4| \\ \varphi_1 + \varphi_3 = \varphi_2 + \varphi_4 \end{cases}$$

- satisfacere simultană: necesită 2 elemente reglabile (față de 1 la c.c.)

40

## Punți de c.a. (cont'd)

- $Z_1 \dots Z_4$  pot fi oricum (model s/p, natură L/R/C)
- **Q: se poate face o punte cu orice combinație de  $Z_{1..4}$  ?**
- **A: trebuie respectate 2 condiții:**



### 1. condiția de **convergență**

Definiție: o punte este convergentă dacă se poate aduce la echilibru ( $U_d=0$ )

Contraexemplu:  $Z_{1..3}$ =rezistive,  $Z_4$ =capacitivă; nu se poate echilibra (componenta imaginară a lui  $U_d$  va fi  $\neq 0$ )

### 2. condiția de **gradabilitate** a reglajelor

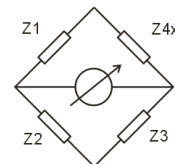
Definiție: o punte este gradabilă dacă cele 2 componente necunoscute ale  $Z_{4x}$  se pot grada *independent* în funcție de 2 componente reglabile ale  $Z_1 \dots Z_3$

41

## Studiul gradabilității reglajelor

Cond. echilibru:  $Z_1 Z_3 = Z_2 Z_{4x}$

- **Varianta 1:  $Z_{4x} = (Z_1/Z_2)Z_3 = R_{12}Z_3$**   
s.n. *punte de raport*  
 $Z_1, Z_2$  s.n. *brațe auxiliare*,  $Z_3$  braț etalon  
brațele auxiliare sînt *alăturate*
- **Varianta 2:  $Z_{4x} = (Z_1 Z_3)/Z_2 = P_{13}Y_2$**   
s.n. *punte de produs*  
 $Z_1, Z_3$  s.n. *brațe auxiliare*,  $Z_2$  braț etalon  
brațele auxiliare sînt *opuse*

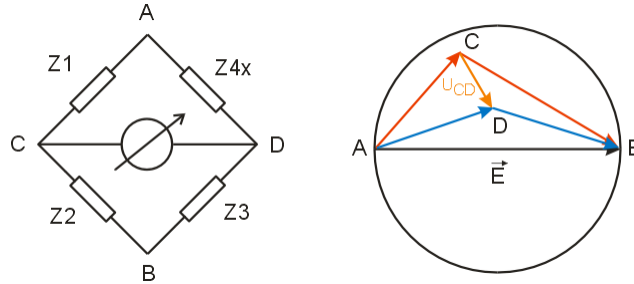


**Demonstrăm că, pentru ca puntea să fie gradabilă:**

- brațul etalon va fi **complex**
- brațele auxiliare sînt fie **pur reale** fie **pur imaginare**  
deci la fel pt.  $R_{12}$  sau  $P_{13}$  :  
 $R_{12}$  sau  $P_{13}$  reale: punți de raport/produs real (*în fază*)  
 $R_{12}$  sau  $P_{13}$  imaginare: punte de raport/produs imaginar (*în cuadratură*)

42

## Studiul convergenței punții



- Echilibrare  $\leftrightarrow U_{CD} = 0$ ; mărimi complexe: reprez. vectorială:
 
$$\vec{U}_{CD} = 0 \quad \vec{U}_{CD} = \vec{U}_{AD} - \vec{U}_{AC}$$

$$\vec{E} = \vec{U}_{AC} + \vec{U}_{CB} = \vec{U}_{AD} + \vec{U}_{DB}$$
- scop: deplasarea C, D în planul complex a.î.  $C \equiv D \leftrightarrow U_{CD} = 0$
- deplasarea C, D  $\leftrightarrow$  reglarea celor 2 elem. reglabile
- Q: cum modelăm această deplasare ?
- A: 2 cazuri: în apropierea echilibrului și departe de echilibru

43

## Studiul convergenței punții (cont'd)

- CAZ 1: convergența în apropierea echilibrului
  - notăm  $a, b$  cele 2 elemente reglabile:
- $$\frac{U_{CD}}{E} = \frac{Z_3}{Z_3 + Z_4} - \frac{Z_2}{Z_1 + Z_2} = \frac{Z_1 Z_3 - Z_2 Z_4}{(Z_3 + Z_4)(Z_1 + Z_2)} = \frac{P(a, b)}{Q(a, b)}$$
- Condiția de echilibru devine:  $P(a, b) \Big|_{a_0, b_0} = 0$
  - În apropierea echilibrului  $a \approx a_0, b \approx b_0, P \approx 0, Q \neq 0$
  - Variația  $U_{CD}/E$  la variația  $a$  sau  $b \leftrightarrow$  derivare:

$$\frac{\partial(U_{CD}/E)}{\partial a} = \frac{1}{Q^2} \left( Q \frac{\partial P}{\partial a} - P \frac{\partial Q}{\partial a} \right) \approx \frac{1}{Q} \frac{\partial P}{\partial a} = P_a e^{j\alpha}$$

$$\frac{\partial(U_{CD}/E)}{\partial b} = \frac{1}{Q^2} \left( Q \frac{\partial P}{\partial b} - P \frac{\partial Q}{\partial b} \right) \approx \frac{1}{Q} \frac{\partial P}{\partial b} = P_b e^{j\beta}$$

44

## Studiul convergenței punții (cont'd)

- Unghiul de convergență:  $\gamma_c = \beta - \alpha$

Reprezentare:

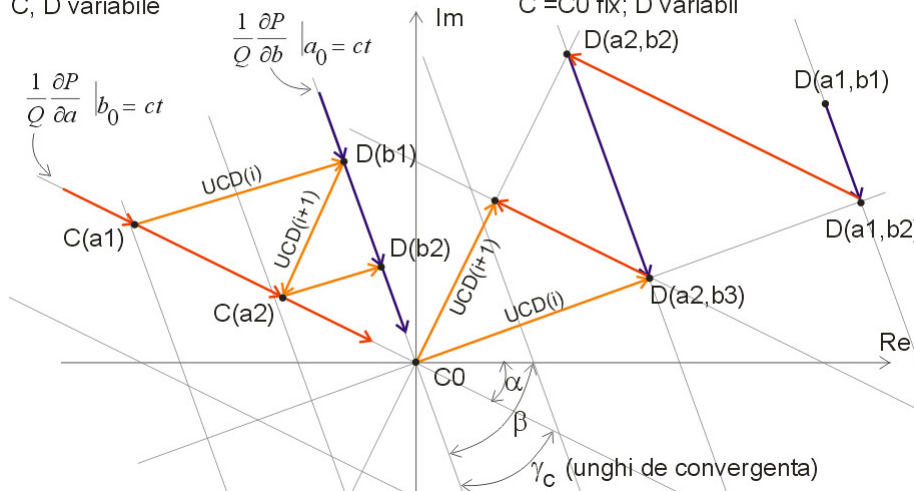
- Planul complex: domeniul de variație al  $U_{CD}$
- Originea axelor:  $a_0, b_0$  (echilibru) sau pct.  $C_0 \equiv D_0$
- La diferite valori  $a = a_0 + k\Delta a, b = b_0 + k\Delta b$  se obțin drepte paralele cu dreptele inițiale → 2 familii de drepte paralele
- 2 variante:
  - Deplasăm C și D, alternativ, pînă ajungem la  $C_0, D_0$
  - Deplasăm D (pînă ajungem la  $D_0$ ), menținînd fix  $C \equiv C_0$

45

## Studiul convergenței punții (cont'd)

Cadranul 2: a, b in brate diferite  
C, D variabile

Cadranul 1: a, b in acelasi brat  
C =  $C_0$  fix; D variabil



- convergența = proces iterativ; Ex:  $C(a_1) \rightarrow D(b_1) \rightarrow C(a_2) \rightarrow D(b_2)$  etc.
- tipic sînt necesare mai multe manevre

46

## Studiul convergenței punții (cont'd)

- Legătura  $\gamma_c \leftrightarrow$  rapiditatea echilibrării (nr. de manevre):

$$U_{CD(i+1)} = U_{CD(i)} \cos \gamma_c$$

după  $n$  manevre:

$$U_{CD(i+n)} = U_{CD(i)} (\cos \gamma_c)^n = U_{CD(i)} \cdot 1/m$$

( notăm  $(\cos \gamma_c)^n = 1/m$  )

deci după  $n$  manevre tensiunea de dezechilibru s-a redus de  $m$  ori; calc.  $n$ :

$$n = \frac{\log m}{\log \frac{1}{\cos \gamma_c}}$$

- OBS: pt  $\gamma_c = 90^\circ$  se observă  $n=2$

47

## Studiul convergenței punții (cont'd)

### CAZ 2: convergența punții departe de echilibru

- nu se mai poate aproxima deplasarea prin prima derivată
- nu se mai def. 2 elem. reglabile (a,b)
- se def. parametrii generalizați  $(\alpha, \beta, \gamma)$  din care se vor alege 2 elem. reglabile
- deplasarea pct. C,D nu se mai face pe drepte ci pe arce de cerc (dreapta = aproximare a arcei de cerc în apropierea originii)

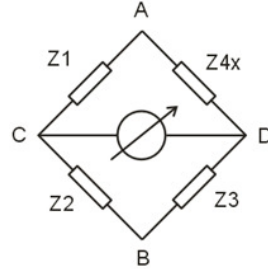
48



## Studiul convergenței punții (cont'd)

### Convergența punții departe de echilibru

Q: pentru puntea ABCD, care sînt combinațiile posibile de cîte 2 brațe (ACB și ADB) ?  
identificăm param. generalizați în aceste combinații



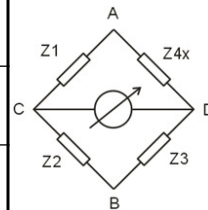
A: 6 combinații (fără a ține seama de ordinea celor 2 brațe), întrucît din considerente de gradabilitate, 2 brațe trebuie să fie elemente pure (R sau C).  
Combinațiile sînt prezentate în tabelul următor

parametrii generalizați ( $\alpha, \beta, \gamma$ ) se iau Z pentru modelul serie și Y pentru paralel

49

## Studiul convergenței punții (cont'd)

	Brațe ACB sau ADB	unghi( $U_{CA}, U_{BA}$ )	$\alpha$	$\beta$	$\gamma$
1		+	$R_1$	$R_2$	$1/\omega C$
2		-	$1/\omega C_1$	$1/\omega C_2$	$R$
3		-	$1/R_2$	$1/R_1$	$\omega C$
4		+	$\omega C_2$	$\omega C_1$	$1/R_1$
1'		-	$R_1$	$R_2$	$\omega L$
3'		+	$1/R_2$	$1/R_1$	$1/\omega L$



Notaiji:  $\alpha$  elementul singur într-un braț (braț auxiliar)  
 $\beta$  elementul de aceeași natură cu  $\alpha$ , în brațul etalon  
 $\gamma$  elementul de natură diferită de  $\alpha$ , în brațul etalon

OBS: Nu există 2', 4' deoarece nu există L pur

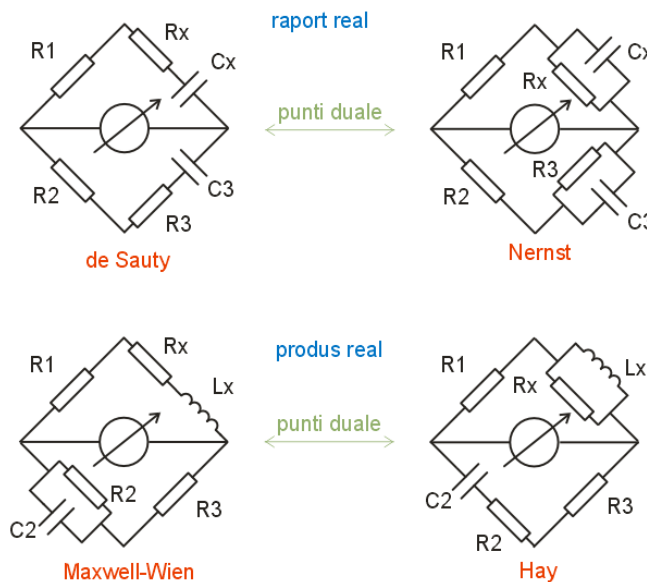
50

## Studiul convergenței punții (cont'd)

- **punte convergentă:**  
legarea  $A=A$ ,  $B=B$  pentru 2 seturi de brațe cu același semn de unghi sau  $A=B$ ,  $B=A$  pentru seturi cu semne opuse
- **punte neconvergentă:**  
invers față de cazul precedent
- **Combi-nații convergente din tabel:**
  - 8 punți, studiate în continuare
  - pentru fiecare punte se aleg 2 elem reglabile: mai multe combinații posibile; alegem  $(\alpha, \beta)$  sau  $(\beta, \gamma)$
- **Q: determinați, pentru fiecare punte, relațiile de echilibru și alegerea elementelor reglabile (cîte 2 variante)**

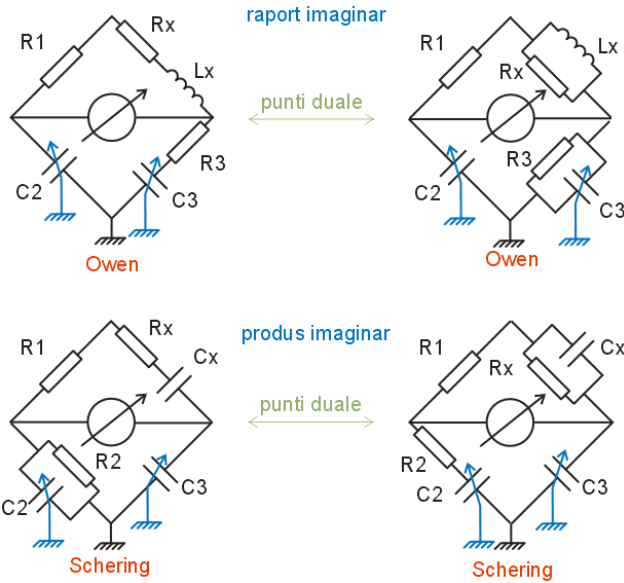
51

## Structuri de punți convergente, în fază



52

## Structuri de punți convergente, în cuadratură



OBS: posibilitatea de a lucra în IF ↔ alegerea el. regl. C, cu cursorii la masă

53

## Punți convergente: concluzii

- **Gradarea carteziană ( $\beta, \gamma$ ) :**
  - reglaje pt. partea reală și imaginară a  $Z_x / Y_x$
  - $\omega$  nu intervine în relația de gradare
  - precisă (unghi de convergență  $90^\circ$ )
  - elementele reglabile în același braț (brațul etalon)
  - elementele reglabile de naturi diferite → constructiv mai scump
- **Gradarea mixtă ( $\alpha, \beta$ ) :**
  - reglaje pt. partea imaginară a  $Z_x / Y_x$  și  $Q_x / D_x$
  - $\omega$  intervine în relația de gradare
  - mai puțin precisă (unghi de convergență  $< 90^\circ$ )
  - elementele reglabile în brațe diferite
  - elementele reglabile de aceeași natură → constructiv mai ieftin
  - s.n. și gradare industrială
- **Necesitatea punților duale:**
  - o singură punte nu poate măsura Q/D de la 0 la  $\infty$

54

## Observații și concluzii punți de c.a

- Gradarea indep. de frecvență
  - posibilă doar la gradarea ( $\beta, \gamma$ )
  - avantaje: **frecvența** semnalului nu trebuie cunoscută/controlată precis; mai mult, nici **forma** semnalului nu e critică

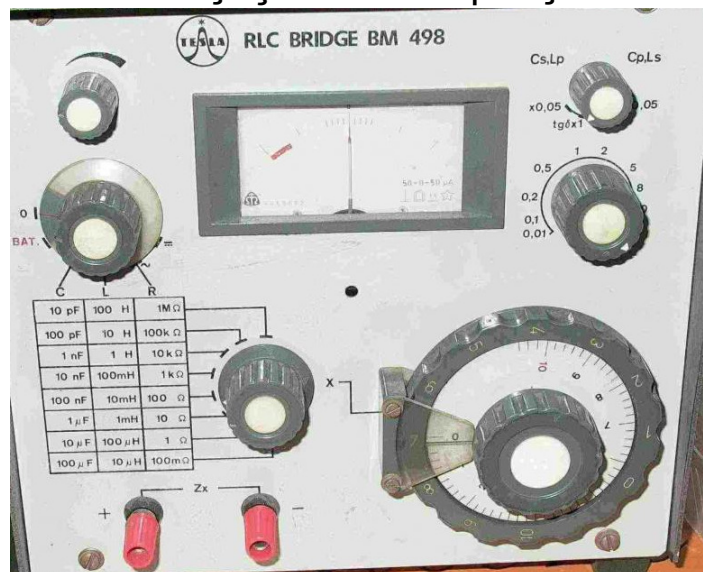
Q: ce legătură are forma semnalului ?

A: formă nesinusoidală → armonici → pentru fiecare frecvență armonică relația de gradare este alta!

- Constructiv: 4 tipuri de punți se combină într-un singur aparat, a.î. se poate măsura orice natură (R,L,C) și orice valoare Q/D

55

## Observații și concluzii punți de c.a



- Exemplu de punte manuală de c.a. – 4 tipuri într-un singur aparat
- comparați cu puntea automată din laborator !

56

## Sensibilitatea punților de c.a

- memento:  $S_{P,CC} = 1/4$
- la punțile de c.a. depinde de tip.
- interesează  $|S|$  căci IN nu e sensibil la faza tensiunii
  - raport real: idem c.c.,  $A$  real
 
$$|S_{\max}| = 1/4 \text{ pt. } A=1$$
  - raport imaginar:  $A=jA_0$ ,  $A_0$  real
 
$$|S_{\max}| = 1/2 \text{ pt. } A_0=1$$
  - produs:  $P$  fix,  $A$  complex și variabil  $= A_0 e^{j\varphi}$ 

$$|S_{\max}| = 1/2(1 + \cos\varphi) \text{ pt } A_0=1$$

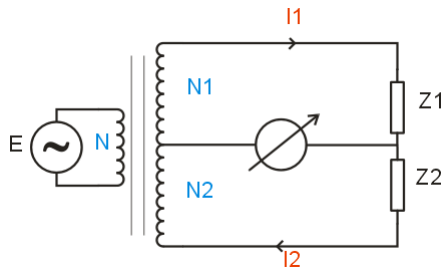
$$\varphi = 0 \rightarrow |S_{\max}| = 1/4$$

$$\varphi = \pi/2 \rightarrow |S_{\max}| = 1/2$$

Demonstrație!

57

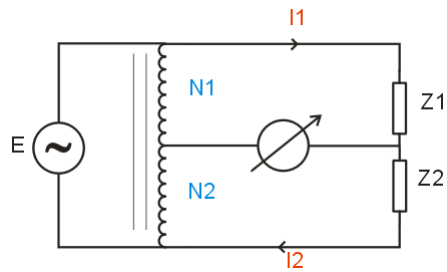
## Punți cu transformator



- Relația de echilibru:  $Z_1/Z_2 = N_1/N_2$
- Q1: Avantaje transformator ?
- Q2: Dezavantaje transformator ?

58

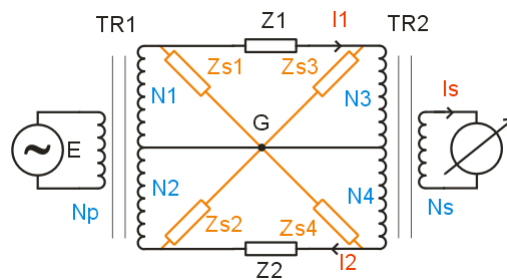
## Punți cu transformator



- Înlocuim transformatorul cu autotransformator
- Q: Dezavantaje autotransformator ?

59

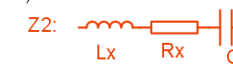
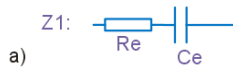
## Punți cu transformator



- punte pentru Z medii/mari (cu gardă)
- Q: cum se elimină efectul impedanțelor de scurgere?
- Relația de echilibru:  $Z_1/Z_2 = (N_1 N_3)/(N_2 N_4)$

60

## Punți cu transformator



deducem relațiile  
de echilibru și  
de gradare !

OBS: gradarea  $L_x$   
depinde de  
frecvență !

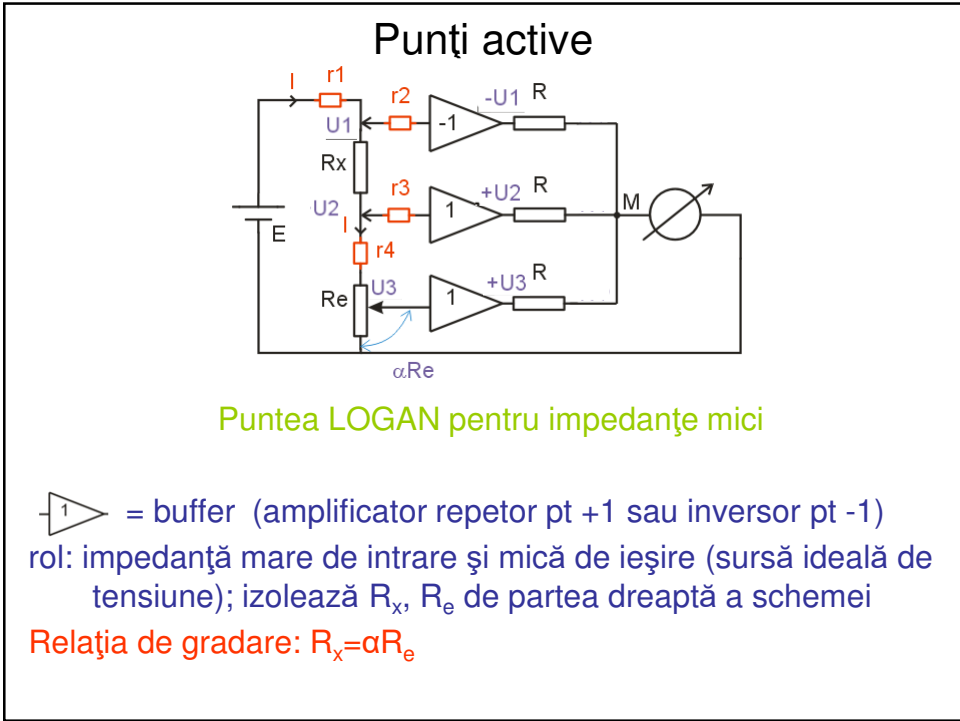
- Punțile cu trafo. ↔ punți de raport real ↔ aceeași natură
- Ca și la p.c.a. clasice, nu există  $L_e$ ;
- **Q: înseamnă că nu putem măsura  $L_x$  ?**
- Conectarea  $Z_1, Z_2$  de pînă acum fct. de natura/modelul lor:
  - a) capacitiv/serie                      b) capacitiv/paralel
  - c) inductiv/serie                      c) inductiv/paralel

61

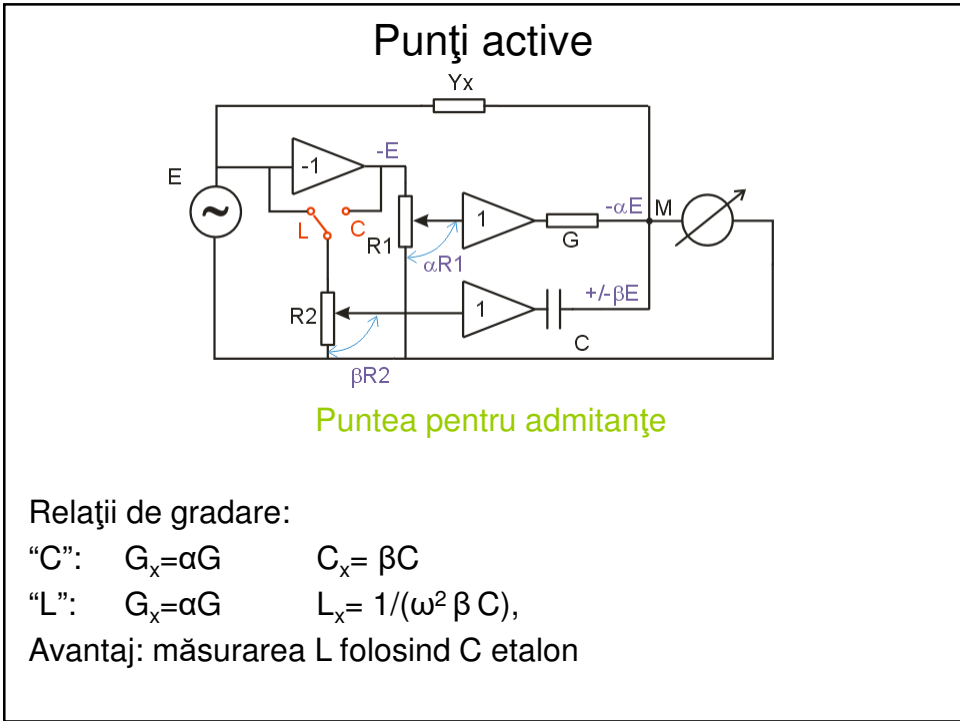
## Punți active

- elimină dezavantajele transformatoarelor
- mai ieftine la aceeași precizie (sau mai bună)
- posibilități de automatizare
- pot folosi element de referință C pentru măsurarea L
- folosesc componente active

62



63

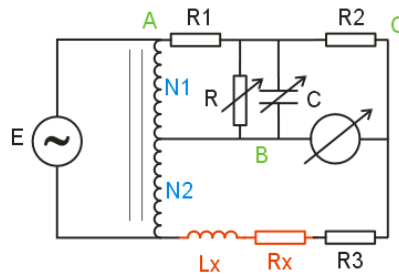


64



## Aplicații punți

Puntea cu un braț în "T"

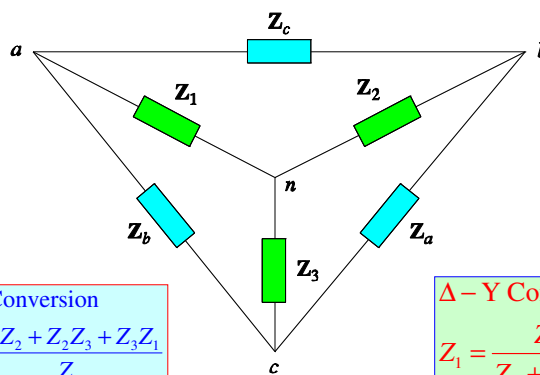


- Determinați condițiile de echilibru și elementele reglabile în cazurile gradării carteziene și mixte
- Care este rolul  $R_3$  ?

65

## Aplicații punți

Indicație (puntea cu un braț în "T") → transformăm Y în  $\Delta$



**Y -  $\Delta$  Conversion**

$$Z_a = \frac{Z_1 Z_2 + Z_2 Z_3 + Z_3 Z_1}{Z_1}$$

$$Z_b = \frac{Z_1 Z_2 + Z_2 Z_3 + Z_3 Z_1}{Z_2}$$

$$Z_c = \frac{Z_1 Z_2 + Z_2 Z_3 + Z_3 Z_1}{Z_3}$$

**$\Delta$  - Y Conversion**

$$Z_1 = \frac{Z_b Z_c}{Z_a + Z_b + Z_c}$$

$$Z_2 = \frac{Z_a Z_c}{Z_a + Z_b + Z_c}$$

$$Z_3 = \frac{Z_a Z_b}{Z_a + Z_b + Z_c}$$

66

## Bibliografie obligatorie punți

*Curs Stănculescu+Stanciu:*

<http://ham.elcom.pub.ro/metc/files/MEE-Stanculescu-Stanciu.pdf>

Rel. echilibru și gradare pt cele 8 punți c.a. p. 61-65, 75-79

Sensib. p.c.a. : p.69,70

P. trafo p. 81-85

P. Logan p. 93-94